

Optimisation de la recharge d'un véhicule électrique en mouvement par induction sur une route adaptée

RIPERT Jérémy

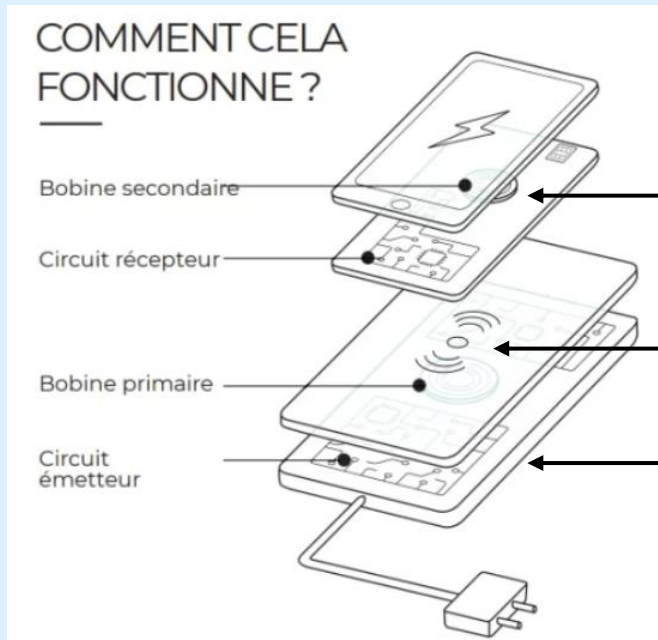
12684

Sommaire

- Principe de la recharge par induction
- La modélisation
- L'inductance mutuelle M
- Le champ magnétique B
- Expériences
- Enjeux environnementaux et économiques
- Annexe

Principe de la recharge par induction

Existe depuis longtemps : brosse à dents électrique



génère un courant dans la bobine secondaire

champ magnétique créé par le courant alternatif

génère un courant alternatif

<https://www.creagift.fr/tout-savoir-sur-le-chargeur-a-induction-personnalise/>

Et sur la route ?

+ de véhicules électriques : grande évolution : 0,1% en 2010, 16,8% en 2023

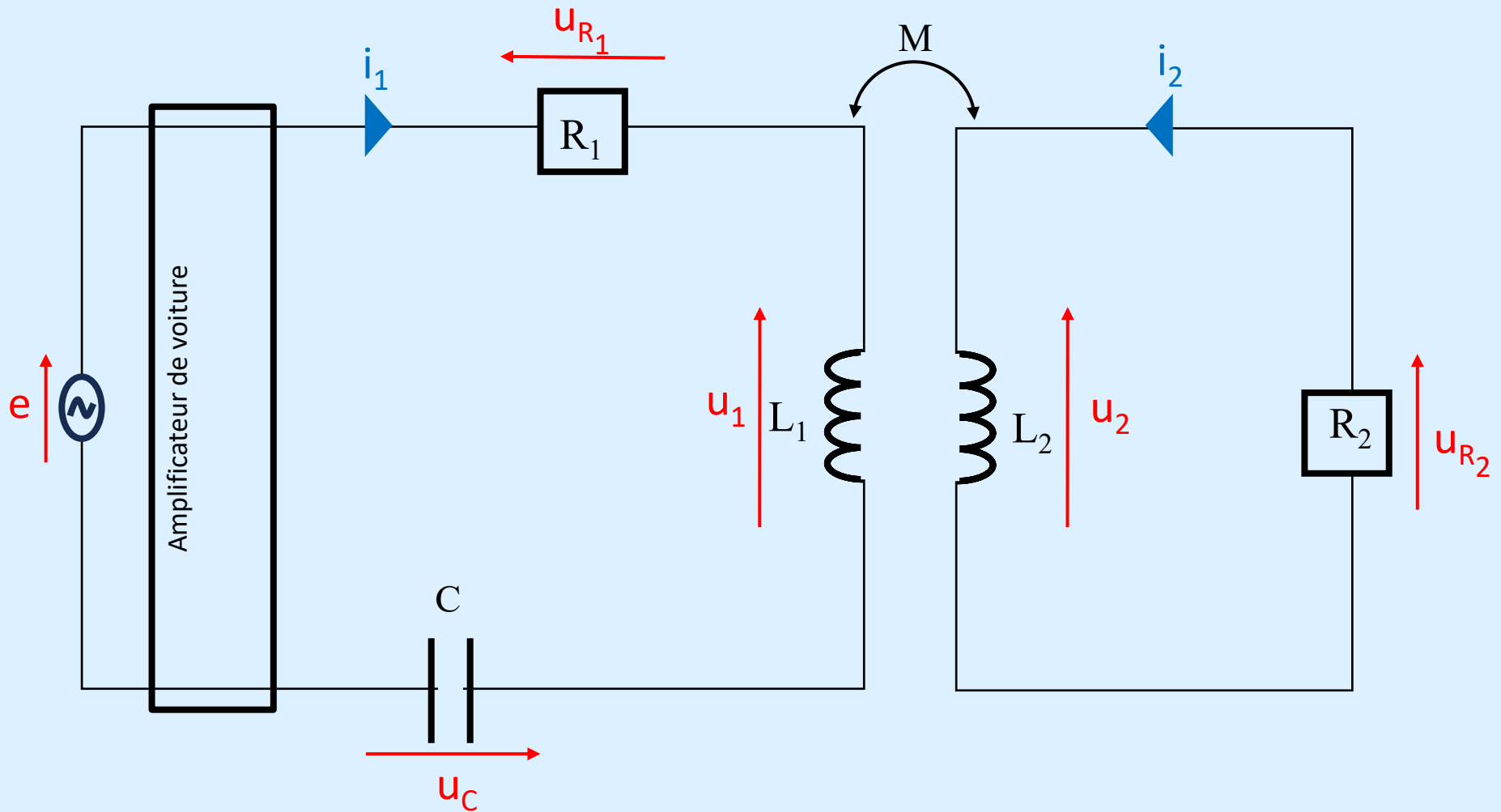
+ de bornes de recharge

Arena del futuro :

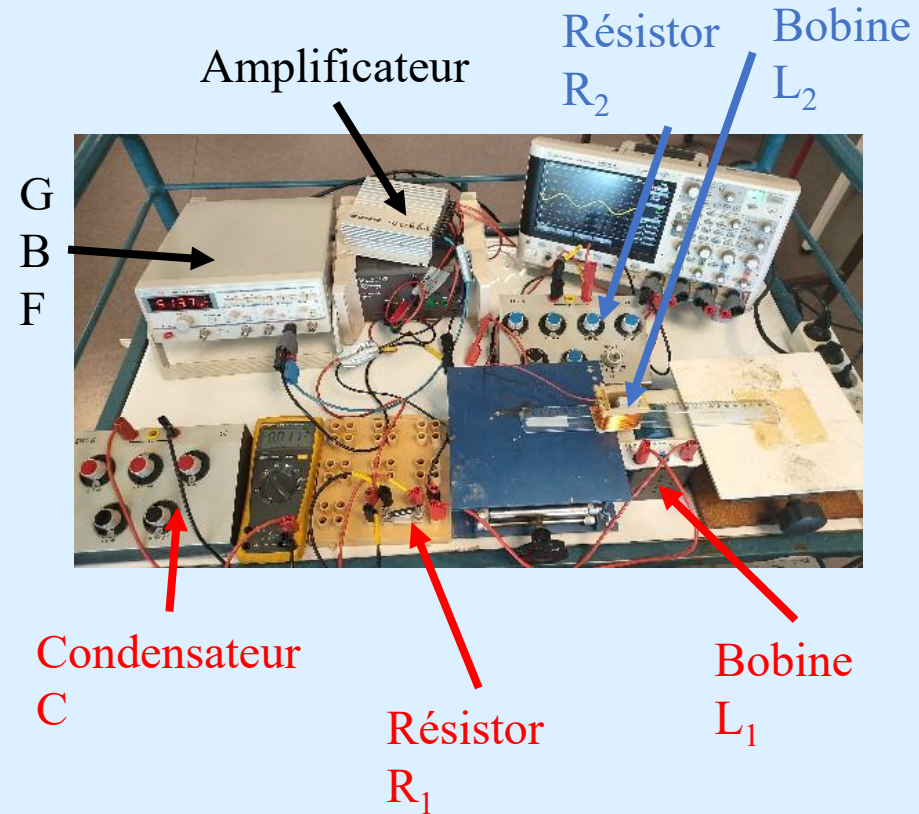
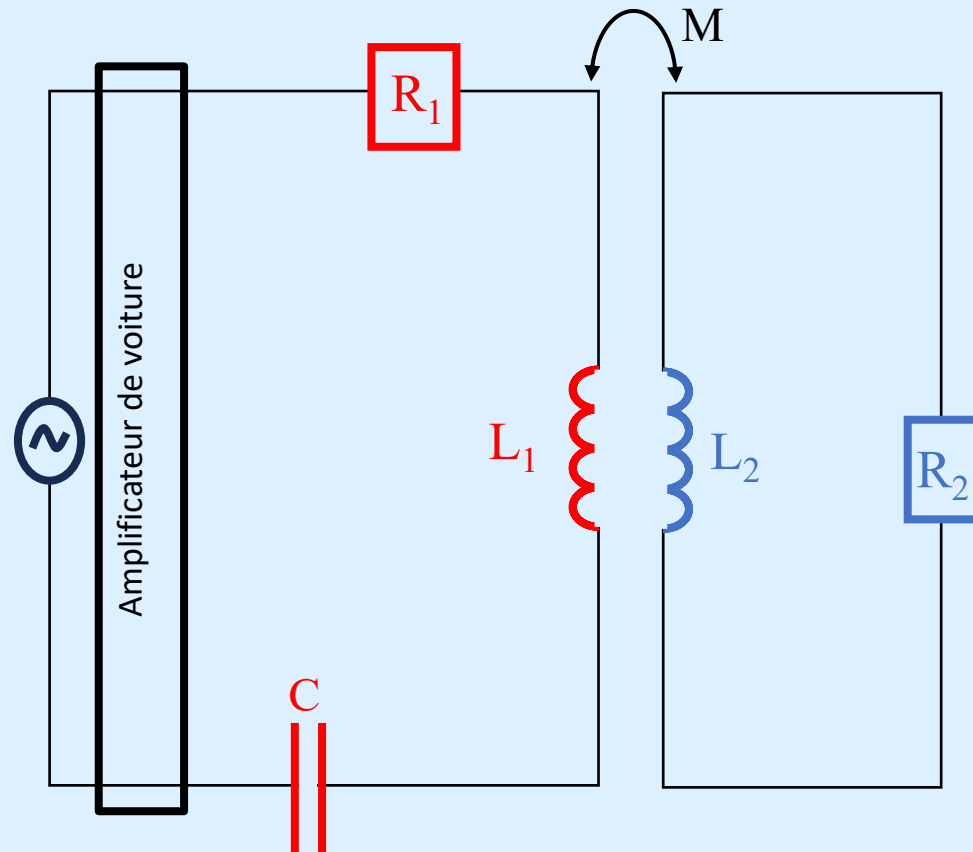


<https://www.stellantis.com/fr/actualite/communiqués-de-presse/2022/juin/le-circuit-arena-del-futuro-démontre-le-potentiel-de-la-recharge-par-induction-dynamique-pour-les-vehicules-electriques>

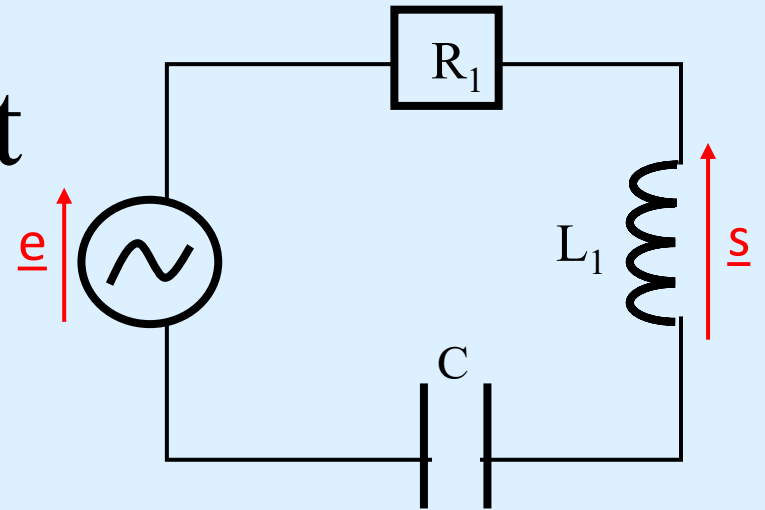
Le circuit expérimental



Le montage



Fonction de transfert



$$\underline{H} = \frac{\underline{s}}{\underline{e}} = \frac{\underline{Z}_{L_1}}{\underline{Z}_{L_1} + \underline{Z}_C + \underline{Z}_{R_1}} = \frac{jL_1\omega}{jL_1\omega + \frac{1}{jC\omega} + R_1}$$

$$f_r = f_0 \sqrt{\frac{2Q^2}{2Q^2 - 1}}$$

$$f_r = 969 \text{ Hz}$$

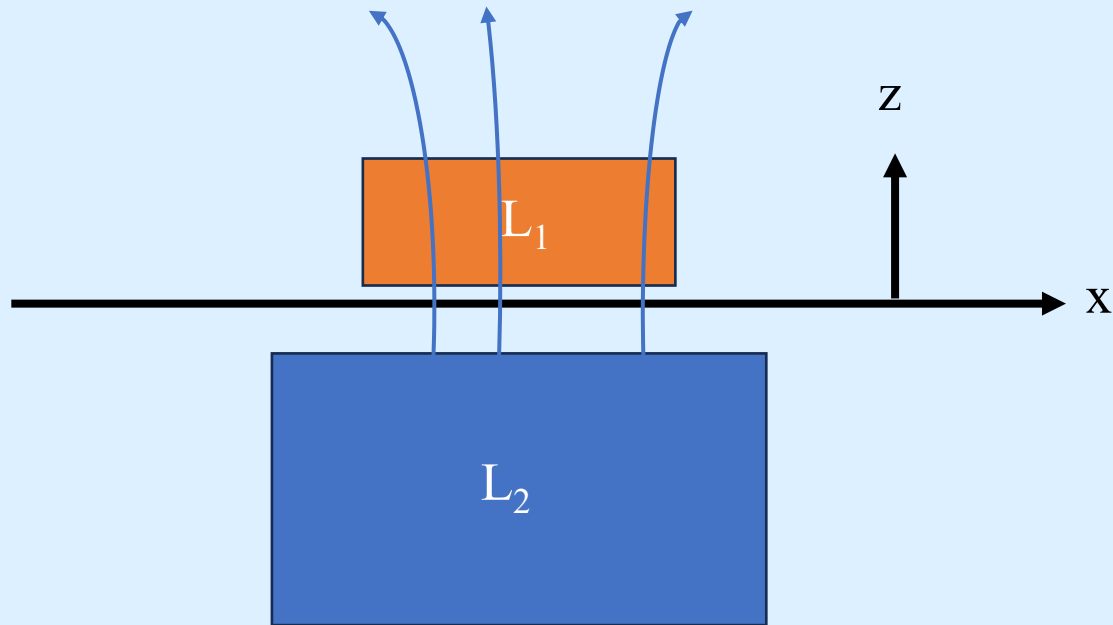
Les équations couplées

$$\begin{cases} u_1 = L_1 \frac{di_1}{dt} + M(x, y, z) \frac{di_2}{dt} \\ u_2 = L_2 \frac{di_2}{dt} + M(x, y, z) \frac{di_1}{dt} \end{cases}$$
$$\Rightarrow \begin{cases} \underline{i_1} = \frac{j\omega \underline{e}}{\frac{1}{C} + jR_1\omega - \omega^2 L_1 + \frac{jM(x, y, z)^2 \omega^3}{R_2 + jL_2\omega}} \\ \underline{i_2} = \frac{-jM(x, y, z)\omega}{R_2 + jL_2\omega} \underline{i_1} \end{cases}$$

L'inductance mutuelle

définition de M : $\Phi_{1 \rightarrow 2} = M(x)i_1 = N_{spires}\phi_{1 \rightarrow 2}$

$$\text{avec } \phi_{1 \rightarrow 2} = \int \int_{(S(x))} \vec{B} \cdot d\vec{S} = \int \int_{(S(x))} B_z(x) dS$$



Calcul de B

la loi de Biot et Savart :
$$\vec{B}(M) = \frac{\mu_0}{4\pi} \iiint_{(V)} \frac{\vec{j} dV \wedge \vec{u}_{PM}}{PM^2} = \frac{\mu_0}{4\pi} \int_{R_{min}}^{R_{max}} \int_{-\frac{h}{2}}^{\frac{h}{2}} \int_{(C)} \frac{\vec{j} dV \wedge \vec{u}_{PM}}{PM^2}$$

Trop difficile a calculé

En discrétisant :
$$\vec{B}(M) = \frac{\mu_0}{4\pi} \sum_{r=R_{min}}^{R_{max}} \sum_{x=-\frac{h}{2}}^{\frac{h}{2}} \sum_{P \in (C)} \frac{\vec{j} dV \wedge \vec{u}_{PM}}{PM^2}$$

Calcul avec python

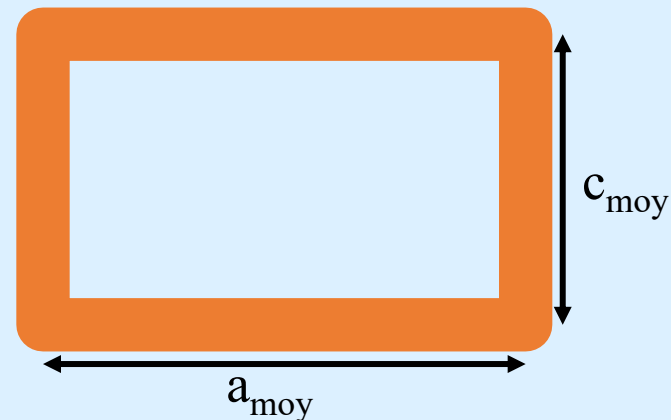
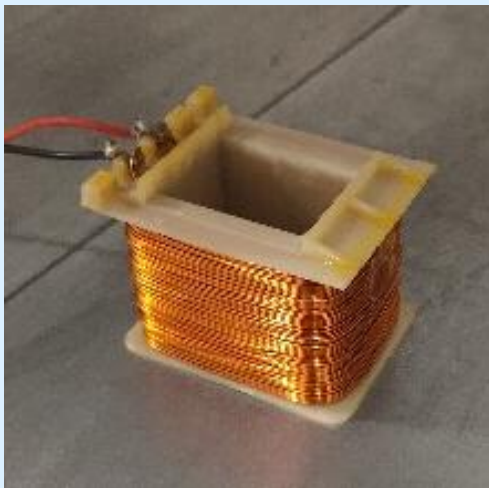
Calcul du nombre de spire de la bobine 2

Calcul de la résistance d'un fil de cuivre sur une longueur connue

Calcul de la résistance de la bobine 2 d'où la longueur du bobinage : $l = 51,5 \text{ m}$

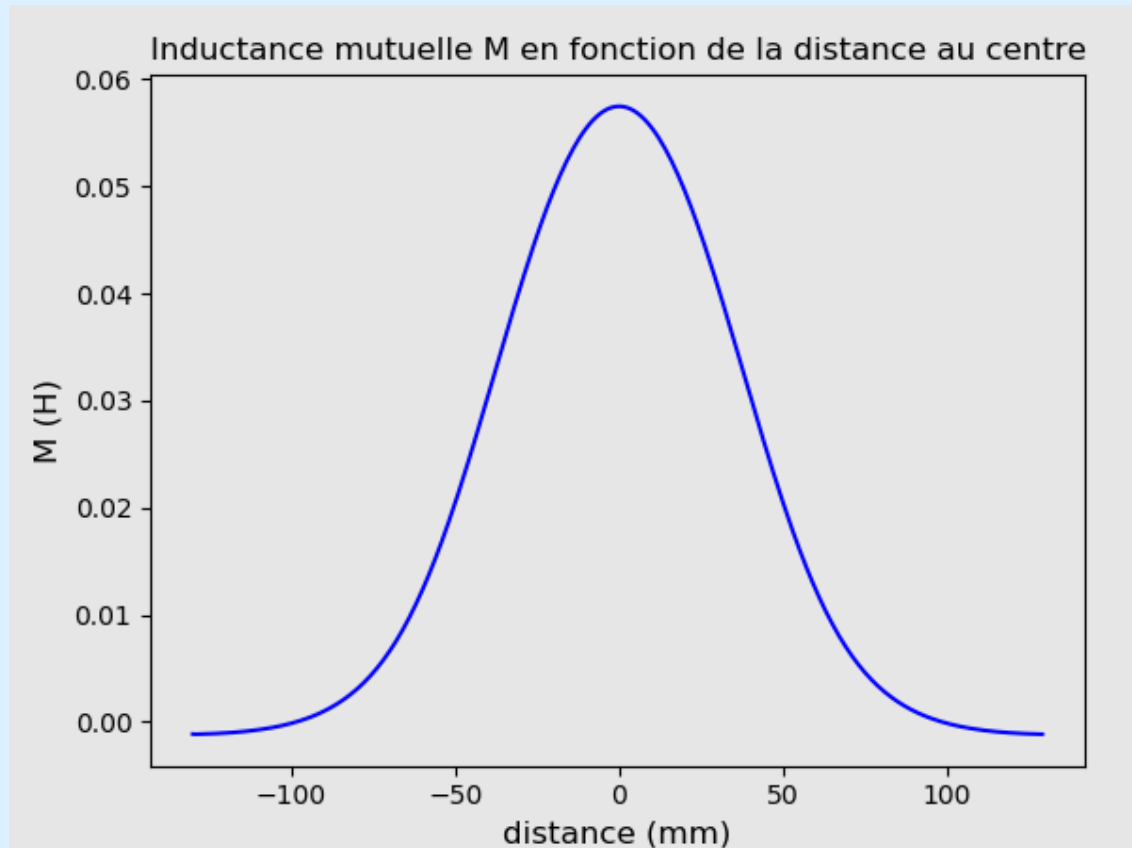
D'où vient
$$N_{spires} = \frac{L}{2(a_{moy} + c_{moy})}$$

Donc le nombre de spires est 388



Retour sur M

Discrétisation :
$$M(x) = N_{spires} \sum_{x - \frac{a_{moy}}{2}}^{x + \frac{a_{moy}}{2}} \sum_{\frac{-c_{moy}}{2}}^{\frac{c_{moy}}{2}} B_z dS$$



Comparaison

On regarde le maximum de $M(x)$: $M_{max} = 0.057$

Vérification de la relation : $M \leq \sqrt{L_1 L_2}$

avec $\sqrt{L_1 L_2} = 0.041$

Relation fausse mais simplification sur calcul de M
pouvant l'expliquer

Fréquence de résonnance réelle

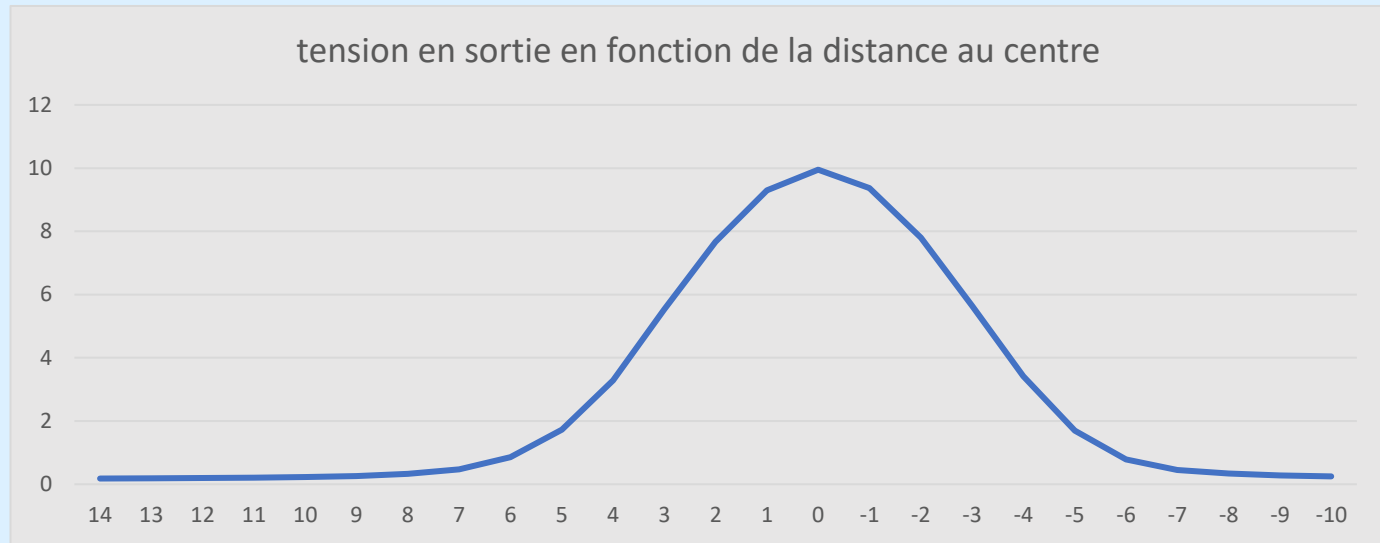
$$\frac{\underline{\dot{i}}_2}{\underline{e}} = \frac{M(x)\omega^2}{\frac{R_2}{C} + j\frac{L_2}{C}\omega + jR_1R_2\omega - L_2R_1\omega^2 - L_1R_2\omega^2 - jL_1L_2\omega^3 + jM(x)^2\omega^3}$$
$$\left| \frac{\underline{\dot{i}}_2}{\underline{e}} \right| = \frac{M(x)\omega^2}{\sqrt{(\frac{R_2}{C} - L_2R_1\omega^2 - L_1R_2\omega^2)^2 + (\frac{L_2}{C}\omega + R_1R_2\omega - L_1L_2\omega^3 + M(x)^2\omega^3)^2}}$$

De maximum : $\omega = 6175 \text{ rad.s}^{-1}$

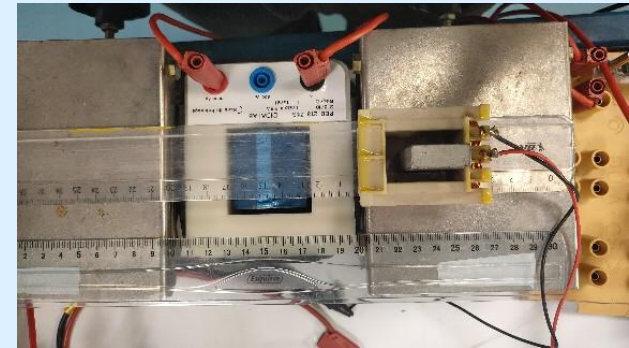
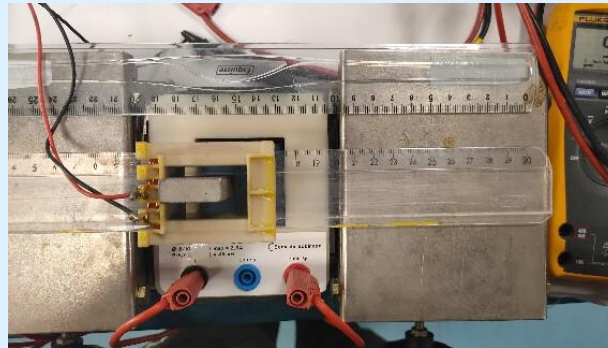
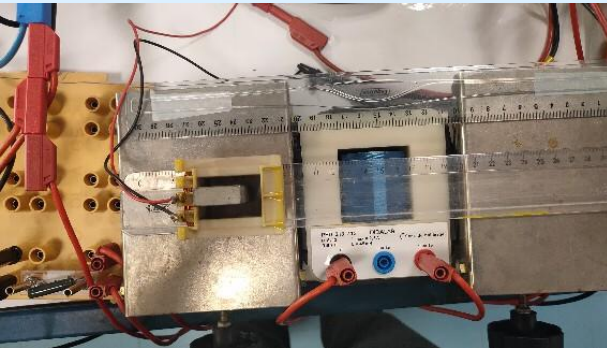
donc $f_r = 983 \text{ Hz}$

Du même ordre de grandeur que celle du circuit 1

Expériences

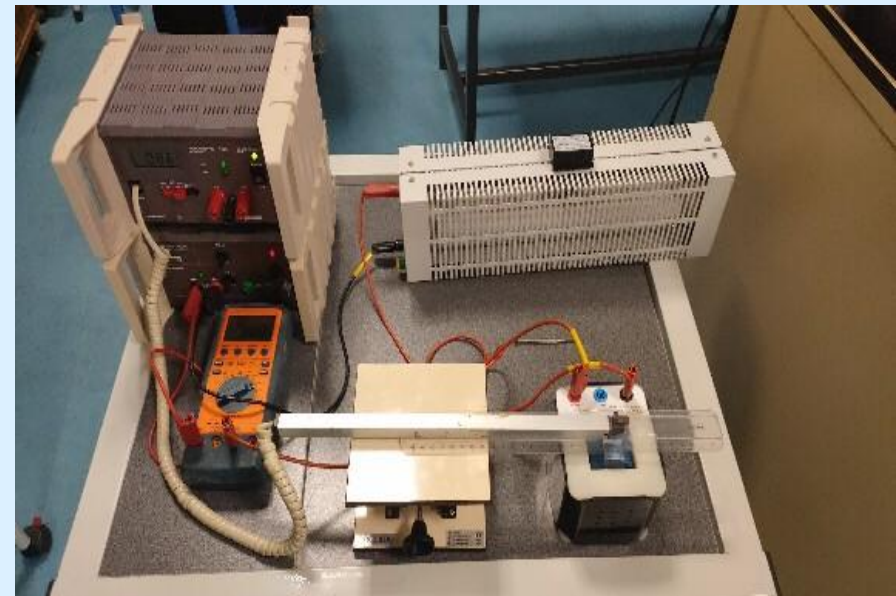
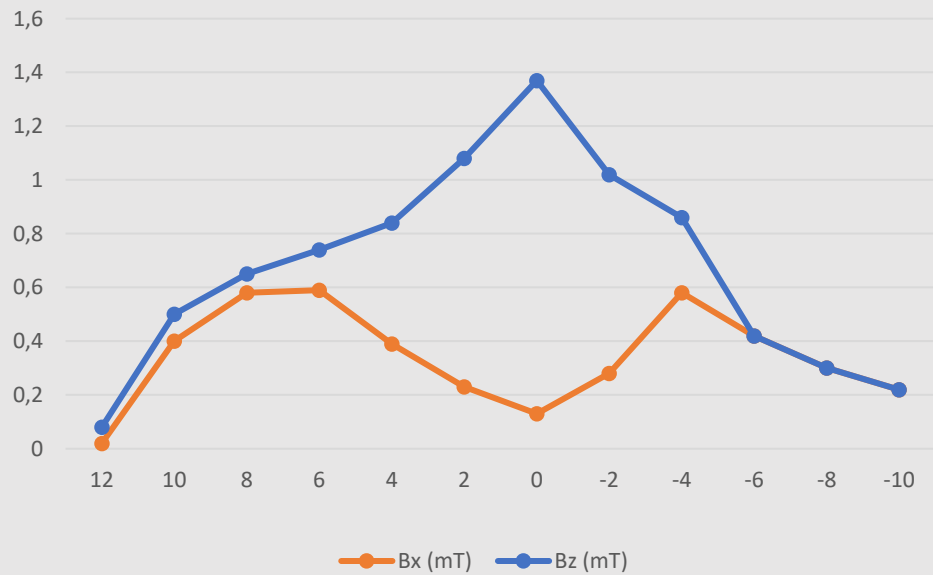


Max : $d = 0$ cm càd au-dessus de la bobine 1

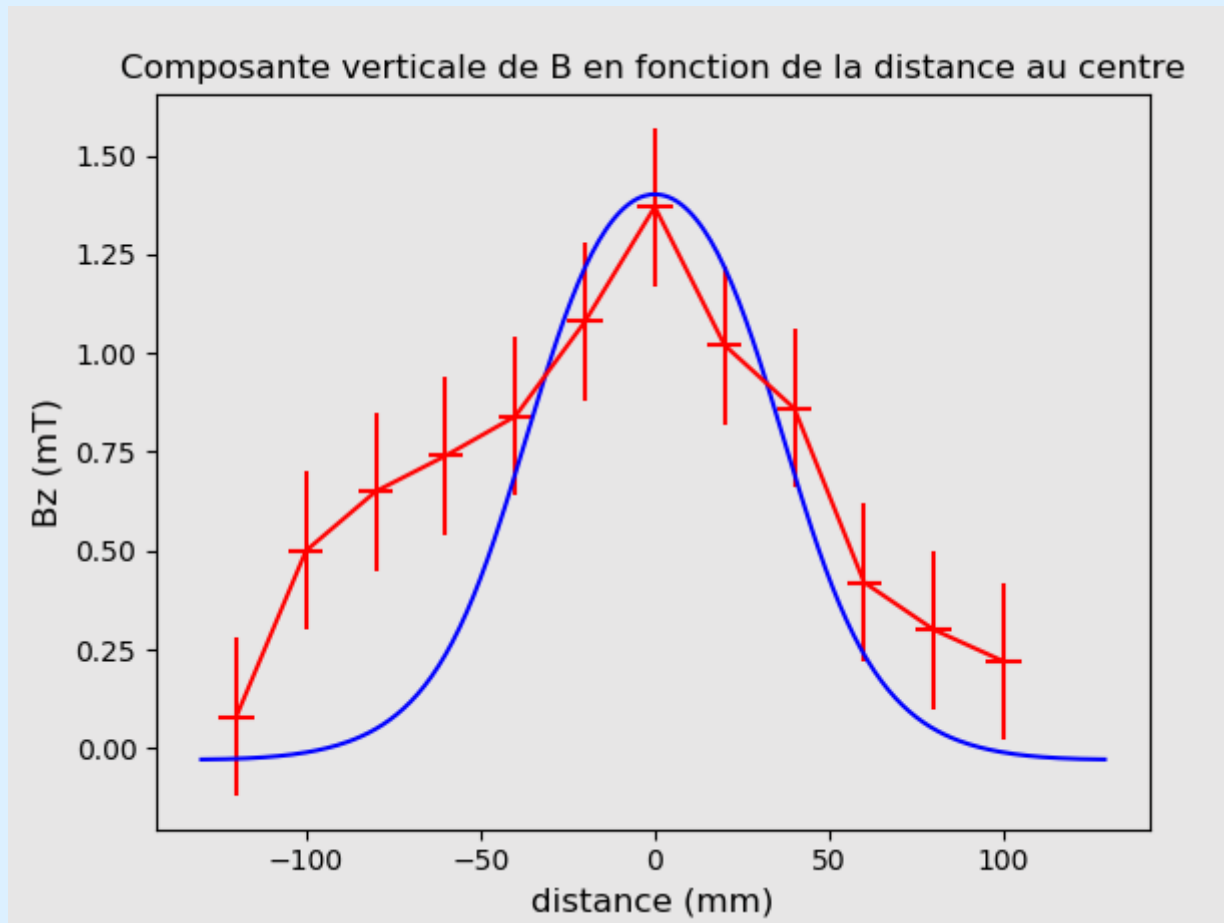


Le champ magnétique B

Comportement du champ B de la bobine
selon la distance au centre



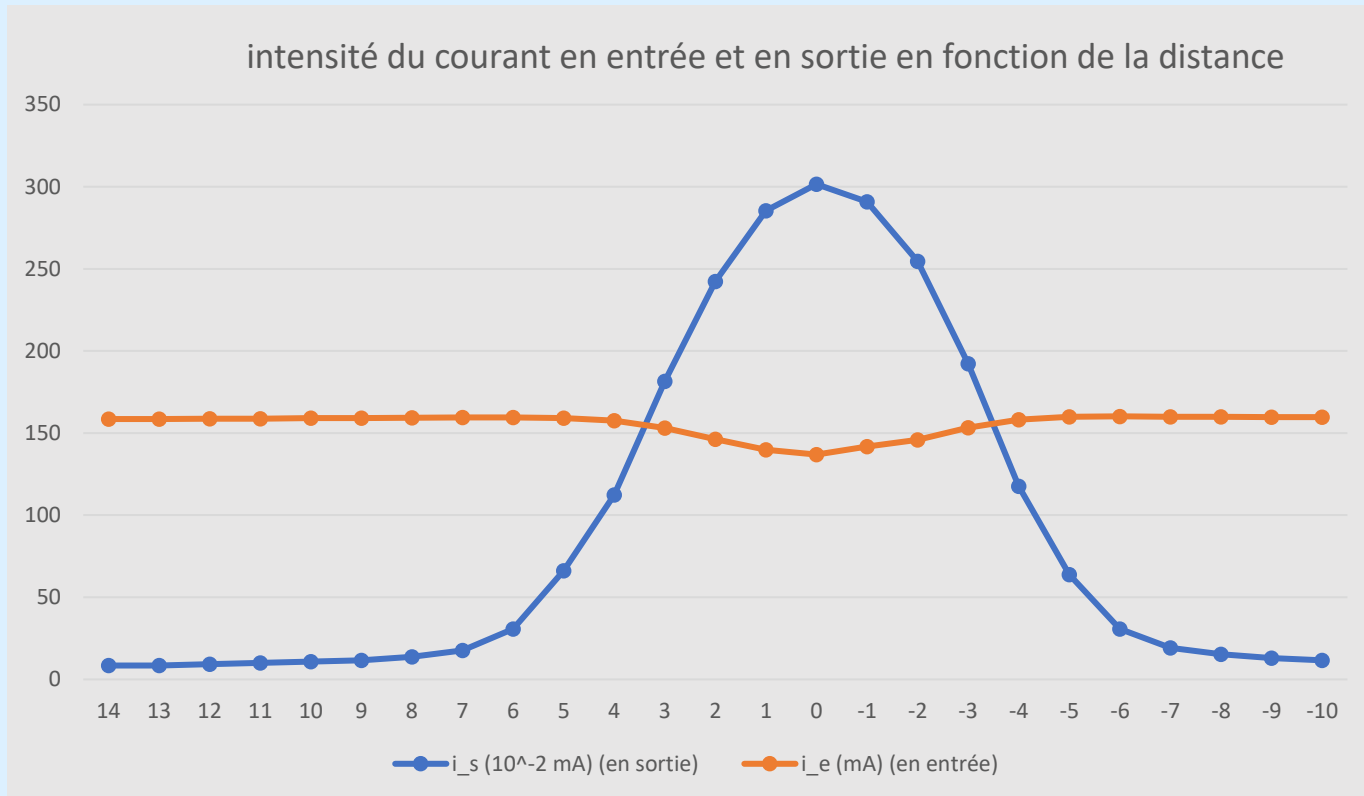
Comparaison avec la théorie



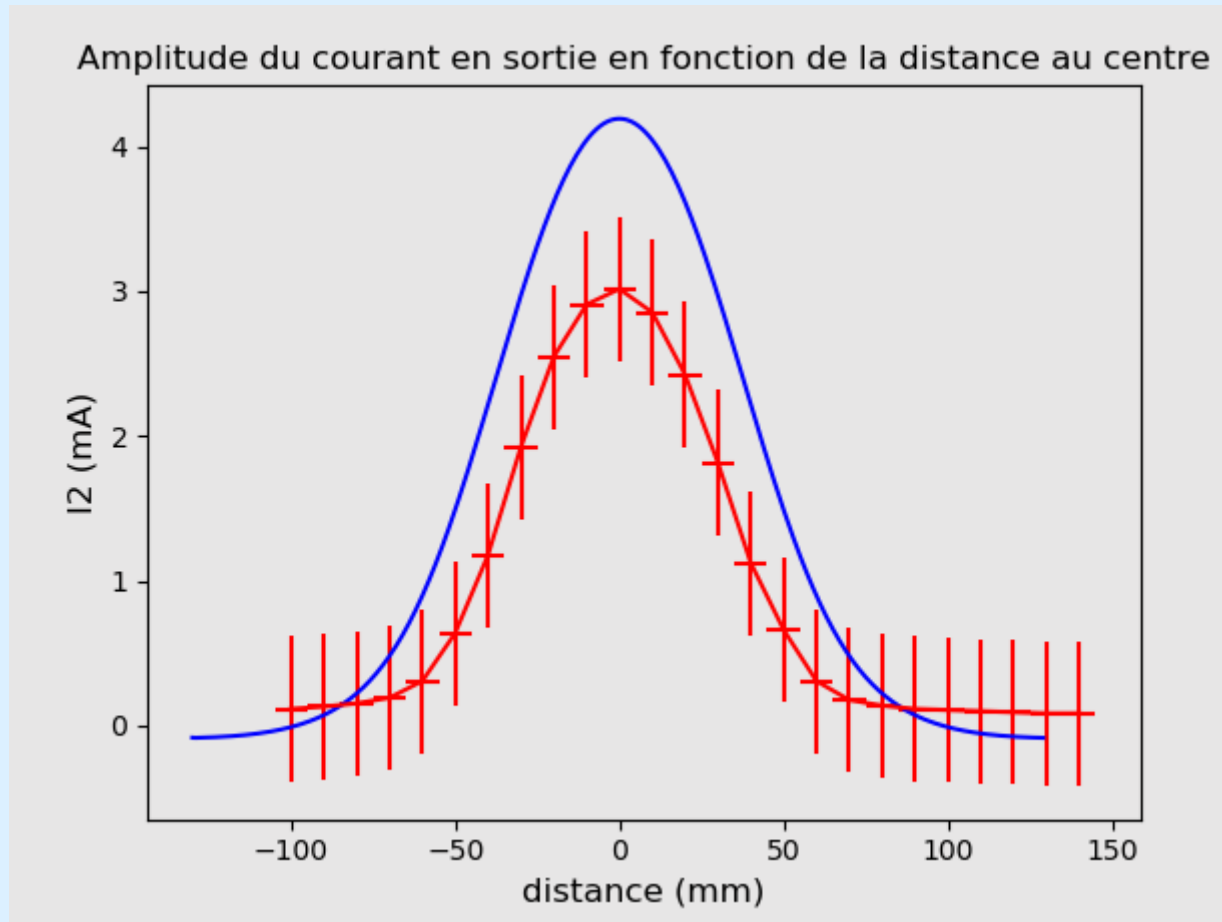
— B_z en pratique

— B_z en théorie

Expériences



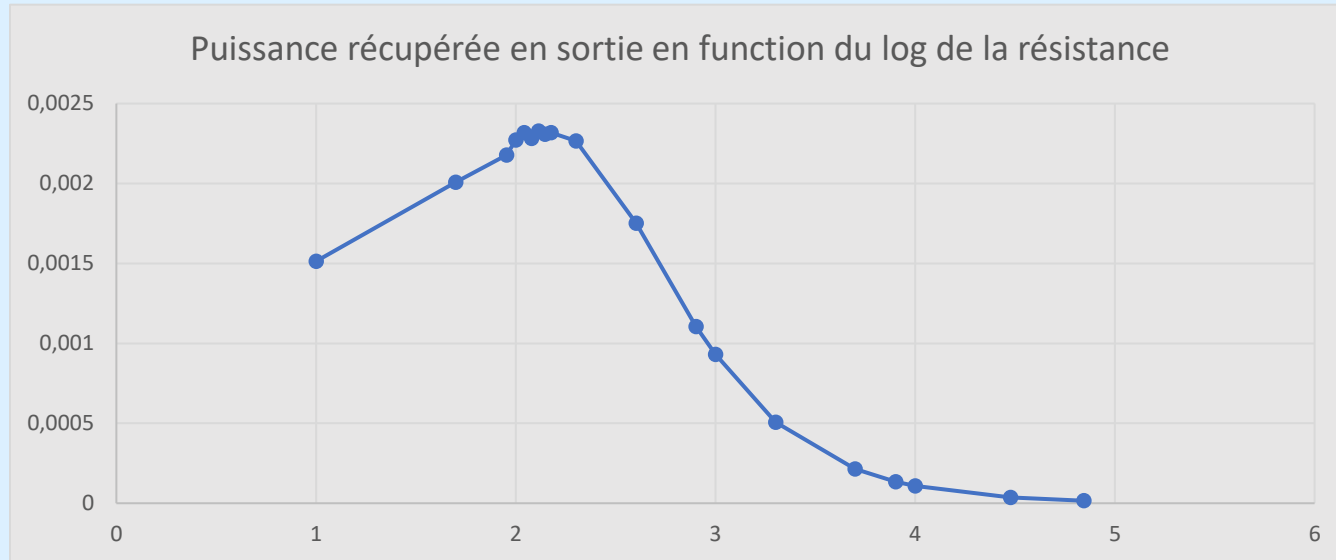
Comparaison avec la théorie



— i_2 en pratique

— i_2 en théorie

Expériences



Max : $R_2 = 130 \Omega$

Puissance récupérée

$$\mathcal{P}_{récup} = \int_{(\mathcal{R})} -u_{R_2} i_2(x) dx = \int_{-10}^{14} R_2 i_2^2(x) dx$$

avec (\mathcal{R}) le tronçon de route

$$\text{Discrétisation : } \mathcal{P}_{récup} = \sum_{x=-10}^{14} R_2 i_2^2(x) dx$$

$$\mathcal{P}_{récup,pratique} = 6,4 \times 10^{-5} \text{W}$$

Rendement

$$\eta = \frac{\mathcal{P}_{\text{récup}}}{\mathcal{P}_{\text{utilisée}}} \text{ avec } \mathcal{P}_{\text{utilisée}} = 1,6 \times 10^{-4} \text{W}$$

$$\eta = 0.41$$

Faible récupération d'énergie

Comparer avec la réalité

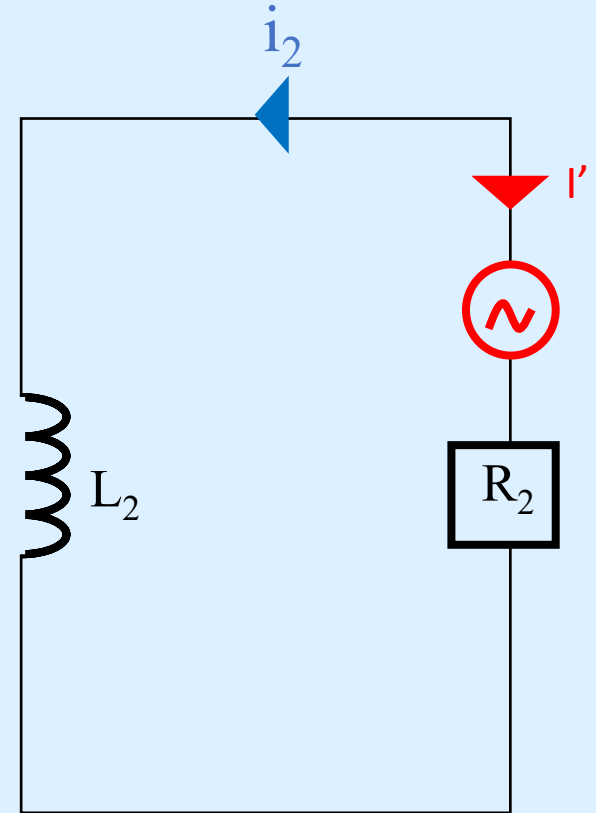
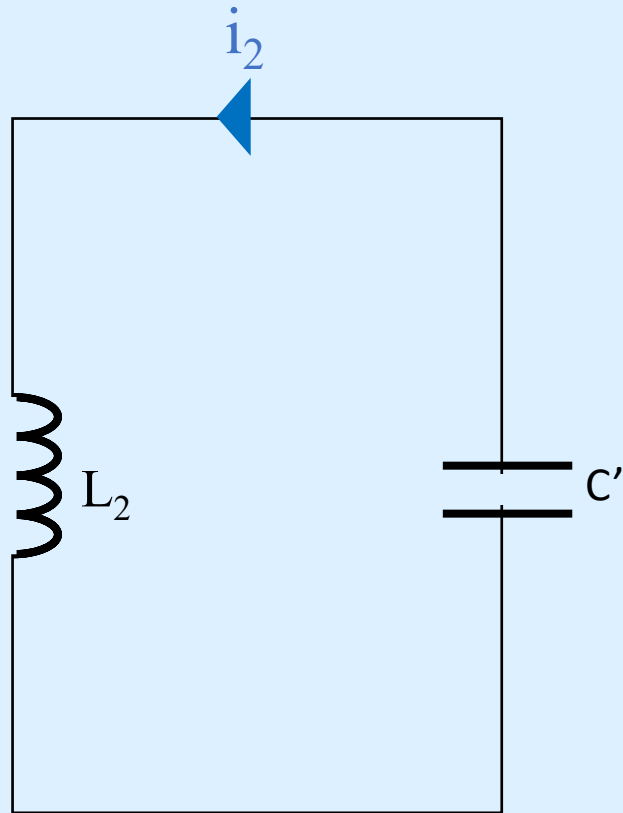
Le modèle fonctionne pour des petites bobines

En réalité, bobine bien plus grande → inductance plus élevée

Puissance récupérée dépassant le 10 kW

Des rendements supérieurs à 90%

Pour d'autres utilités



Coups pour l'environnement

Important pour les hommes, animaux et plantes

Effets sur le foie et les voies respiratoires importants

Risques à haute concentration

Propagation dans l'eau

Coups de construction

En 2025, entre 8€/kg et 10€/kg

L'entreprise Nissan en 2023 , bobine de taille 1,6x0,3 m

Prix d'un km de route : 2 à 20 millions

Conclusion

Faire des tests en condition réelle : sur une vraie route

Étude du système avec plusieurs bobines

Merci pour
votre écoute

Annexe

Équations couplées

$$\begin{cases} u_1 = L_1 \frac{di_1}{dt} + M(x, y, z) \frac{di_2}{dt} \\ u_2 = L_2 \frac{di_2}{dt} + M(x, y, z) \frac{di_1}{dt} \end{cases}$$

$$\Rightarrow \begin{cases} u_1 = e - u_C - u_{R_1} \\ u_2 = u_{R_2} = -R_2 i_2 \end{cases}$$

$$\Rightarrow \begin{cases} \frac{de}{dt} - \frac{i_1}{C} - R_1 \frac{di_1}{dt} = L_1 \frac{d^2 i_1}{dt^2} + M(x) \frac{d^2 i_2}{dt^2} \\ -R_2 i_2 = L_2 \frac{di_2}{dt} + M(x) \frac{di_1}{dt} \end{cases}$$

$$e(t) = a \cos(\omega t) \Rightarrow \underline{e}(t) = a e^{j\omega t}$$

$$\underline{i_1} = \underline{I_{01}} e^{j\omega t} \text{ avec } \underline{I_{01}} = I_{01} e^{j\phi_1}$$

$$\underline{i_2} = \underline{I_{02}} e^{j\omega t} \text{ avec } \underline{I_{02}} = I_{02} e^{j\phi_2}$$

$$\begin{cases} j\omega \underline{e} - \frac{\underline{i_1}}{C} - jR_1 \omega \underline{i_1} = -\omega^2 L_1 \underline{i_1} - \omega^2 M(x) \underline{i_2} \\ -R_2 \underline{i_2} = jL_2 \omega \underline{i_2} + jM(x) \underline{i_1} \end{cases}$$

$$\Rightarrow \begin{cases} \underline{i_1} = \frac{j\omega \underline{e}}{\frac{1}{C} + jR_1 \omega - \omega^2 L_1 + \frac{jM(x, y, z)^2 \omega^3}{R_2 + jL_2 \omega}} \\ \underline{i_2} = \frac{-jM(x, y, z) \omega}{R_2 + jL_2 \omega} \underline{i_1} \end{cases}$$

$$\underline{\underline{i_2}} = \frac{M(x) \omega^2}{\frac{R_2}{C} + j\frac{L_2}{C} \omega + jR_1 R_2 \omega - L_2 R_1 \omega^2 - L_1 R_2 \omega^2 - jL_1 L_2 \omega^3 + jM(x)^2 \omega^3}$$

$$\left| \underline{\underline{i_2}} \right| = \frac{M(x) \omega^2}{\sqrt{\left(\frac{R_2}{C} - L_2 R_1 \omega^2 - L_1 R_2 \omega^2\right)^2 + \left(\frac{L_2}{C} \omega + R_1 R_2 \omega - L_1 L_2 \omega^3 + M(x)^2 \omega^3\right)^2}}$$

Annexe

Détermination de C

$$\underline{H} = \frac{\underline{s}}{\underline{e}} = \frac{\underline{Z}_{L_1}}{\underline{Z}_{L_1} + \underline{Z}_C + \underline{Z}_{R_1}} = \frac{jL_1\omega}{jL_1\omega + \frac{1}{jC\omega} + R_1}$$

$$\text{d'où } \underline{H} = \frac{1}{1 - j\frac{R_1}{L_1\omega} - \frac{1}{L_1C\omega^2}}$$

$$\text{On pose } \omega_0 = \frac{1}{\sqrt{L_1C}}, Q = \frac{1}{R_1}\sqrt{\frac{L_1}{C}} \text{ et } x = \frac{\omega}{\omega_0}$$

$$\text{donc } \underline{H} = \frac{1}{1 - j\frac{1}{Qx} - j\frac{1}{x^2}} = \frac{1}{1 - \frac{1}{x^2} - j\frac{1}{Qx}}$$

$$G = |\underline{H}| = \frac{1}{\sqrt{1 + (\frac{1}{Qx} + \frac{1}{x^2})^2}} = \frac{1}{\sqrt{(1 - \frac{1}{x^2})^2 + \frac{1}{(Qx)^2}}}$$

$G(f_r) = G(\omega_r) = G_{max}$ donc $f : x \mapsto (1 - \frac{1}{x^2})^2 + \frac{1}{(Qx)^2}$ doit atteindre un minimum avec

$$f'(x) = 2\frac{2}{x^3}(1 - \frac{1}{x^2}) - \frac{2}{Q^2x^3}$$

$$\text{On cherche donc } f'(x) = 0 \text{ c'est-à-dire } 2 - \frac{2}{x^2} - \frac{1}{Q^2} = 0 \implies x^2(2 - \frac{1}{Q^2}) - 2 = 0$$

$$\text{d'où } x = \sqrt{\frac{2Q^2}{2Q^2 - 1}} \text{ d'où } f_r = f_0\sqrt{\frac{2Q^2}{2Q^2 - 1}}$$

$$\underline{AN} : f_r = 969Hz$$

Annexe

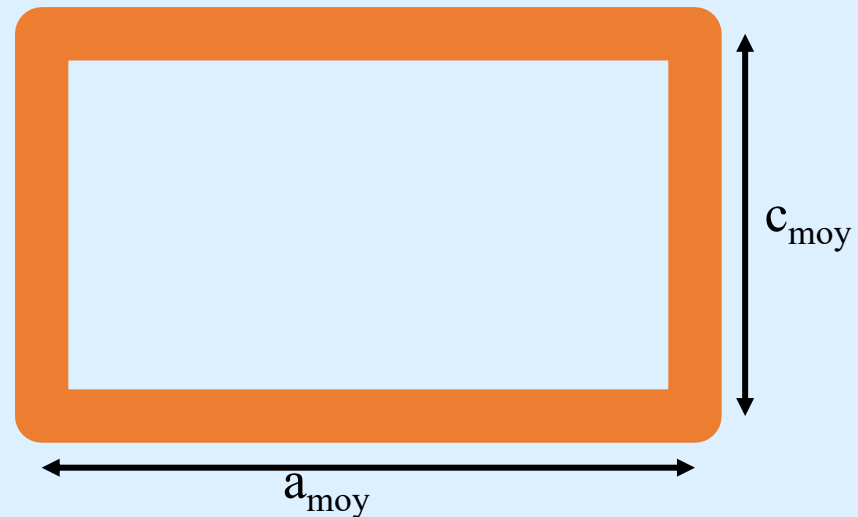
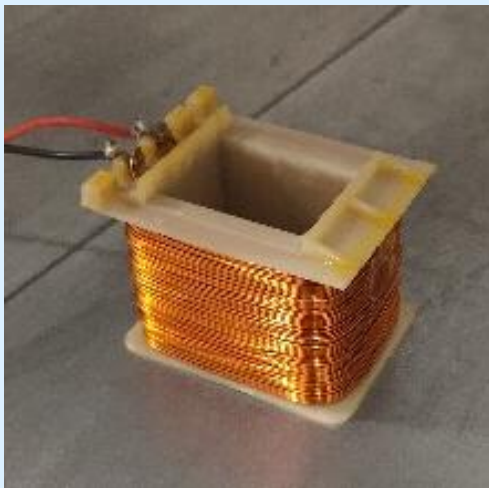
Calcul de N_{spires}

e épaisseur du fil de cuivre et L longueur du bobinage

$$L = \sum_{i=0}^N 4(a_0 + 2ie)(c_0 + 2ie)\left(\frac{b_0 + 2ie}{e}\right)$$

En simplifiant : $N = \frac{eL}{2b_{\text{moy}}(a_{\text{moy}} + c_{\text{moy}})}$

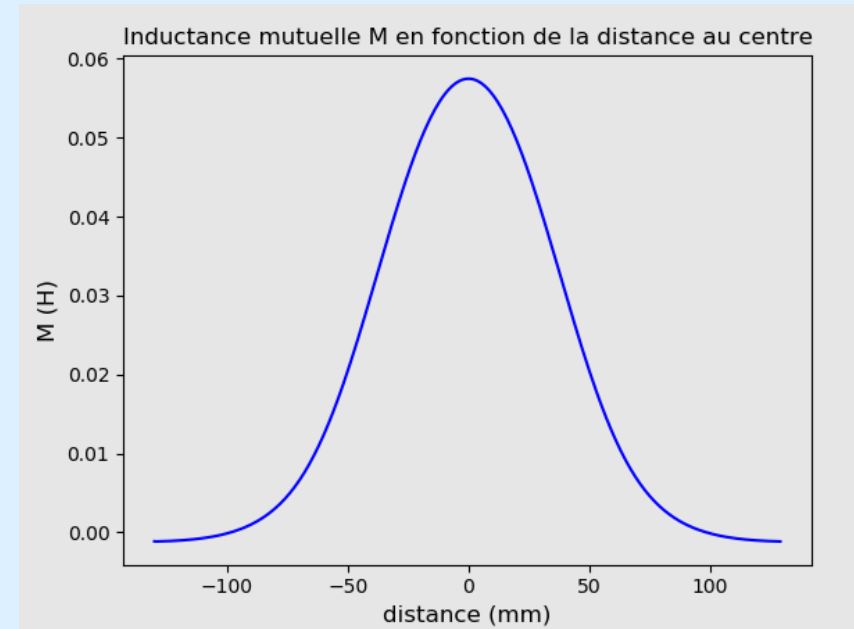
$$N_{\text{spires}} = N \frac{b_{\text{moy}}}{e} = \frac{L}{2(a_{\text{moy}} + c_{\text{moy}})}$$



Annexe

Inductance mutuelle M

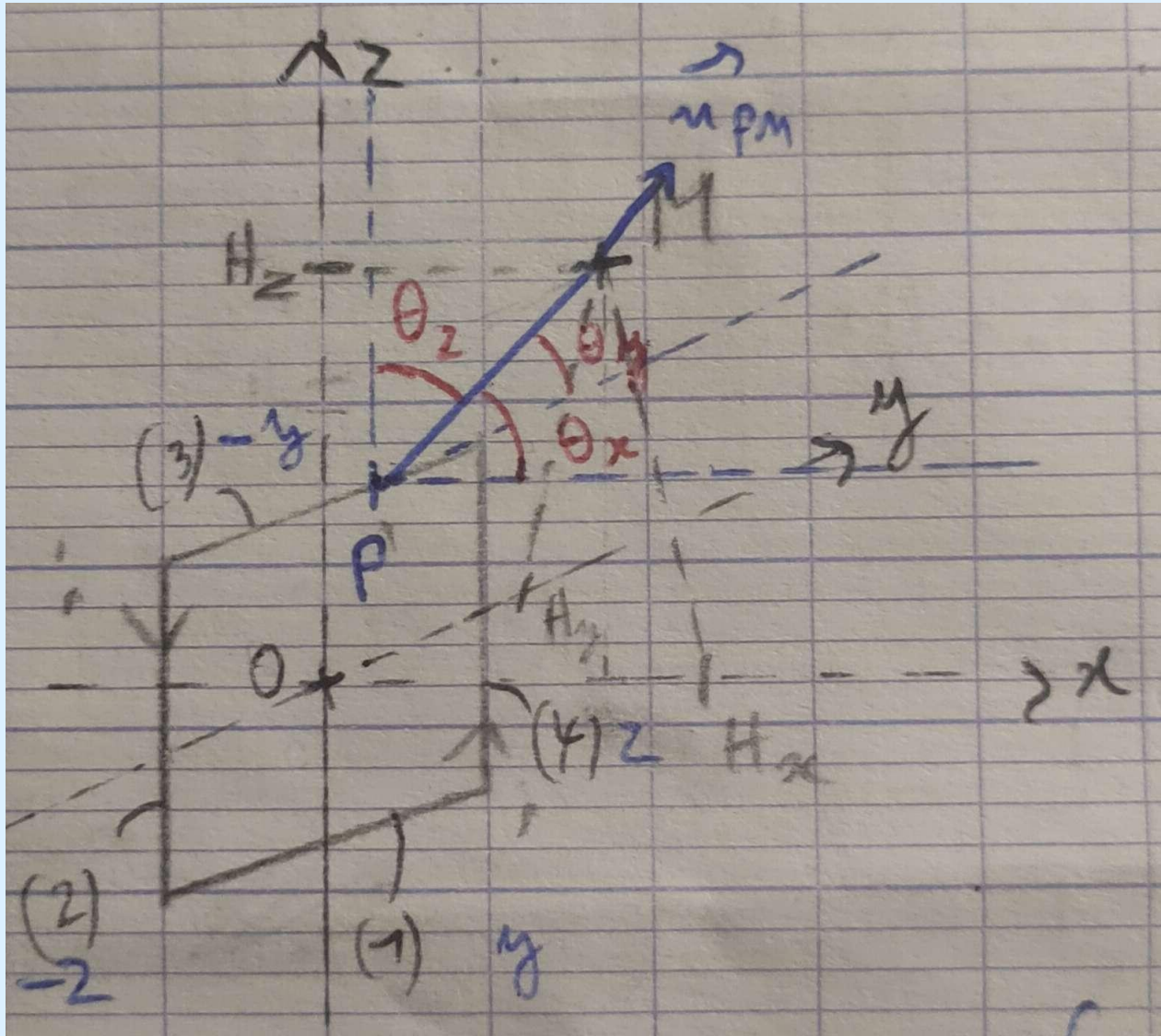
```
def M_x (x, B) :  
    '''calcul de M(x)'''  
    c = int(cmoy/2)  
    a = int(amoy/2)  
    phi = 0  
    for z in range (mid-c, mid+c+1) :  
        for y1 in range (y-a, y+a+1) :  
            phi += B[mid-h+15][y1][mid][0]*10**(-6)  
    return N*phi/i1
```



```
fig = plt.figure()  
fig.patch.set_facecolor('#E7E6E6')  
ax = fig.add_subplot(111)  
ax.patch.set_facecolor('#E7E6E6')  
  
plt.xlabel("distance (mm)", fontsize=12)  
plt.ylabel('M (H)', fontsize=12)  
plt.title('Inductance mutuelle M en fonction de la distance au centre', fontsize=12)  
  
plt.plot(dist,M,'b')  
plt.show()
```


Annexe

Schéma champ B



Annexe

Calcul théorique de B

```
def B_M(espace,x,y,z) :  
    '''calcul le champ B en M selon les composantes x, y et z'''  
    B = [0,0,0]  
    nj = norme_j(i,e)  
    if espace[x][y][z] == 3 :  
        return B  
    else :  
        h_dem = int(h/2)  
        for xp in range(-h_dem,h_dem+1) :  
            for yp in range(-Rmax,Rmax+1) :  
                for zp in range(-Rmax,Rmax+1) :  
                    if abs(yp) < abs(zp) : r = abs(zp)  
                    else : r = abs(yp)  
  
                    dsj = ds_j(espace,mid+xp,mid+yp,mid+zp,r)  
                    pm = distance(x,y,z,xp+mid,yp+mid,zp+mid)  
                    if dsj == "-z" :  
                        B = [B[0] + 1e-3*nj*(y-(mid+yp))/(pm**3), B[1] - 1e-3*nj*(x-(mid+xp))/(pm**3), B[2]]  
                    elif dsj == "z" :  
                        B = [B[0] - 1e-3*nj*(y-(mid+yp))/(pm**3), B[1] + 1e-3*nj*(x-(mid+xp))/(pm**3), B[2]]  
                    elif dsj == "-y" :  
                        B = [B[0] - 1e-3*nj*(z-(mid+zp))/(pm**3), B[1], B[2] + 1e-3*nj*(x-(mid+xp))/(pm**3)]  
                    elif dsj == "y" :  
                        B = [B[0] + 1e-3*nj*(z-(mid+zp))/(pm**3), B[1], B[2] - 1e-3*nj*(x-(mid+xp))/(pm**3)]  
  
        return mu0/4/pi *1e-9* np.array(B)
```

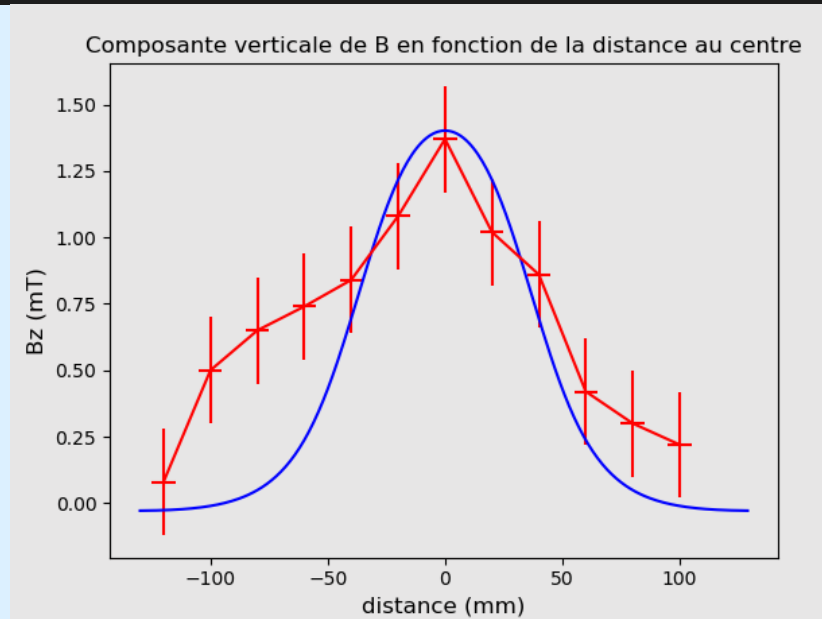
Annexe

Tracé de B_z

```
fig = plt.figure()
fig.patch.set_facecolor('#E7E6E6')
ax = fig.add_subplot(111)
ax.patch.set_facecolor('#E7E6E6')

plt.xlabel("distance (mm)", fontsize=12)
plt.ylabel('Bz (mT)', fontsize=12)
plt.title('Composante verticale de B en fonction de la distance au centre', fontsize=12)

Bzt = [Bzt[i] for i in range (20,dim-20)]
plt.plot(dist,np.array(Bzt),'b')
plt.errorbar(x=dist2,y=np.array(Bzp),yerr=0.2,xerr=5,color='r',ecolor='r')
plt.show()
```



Annexe

Tracé de i_2

```
fig = plt.figure()
fig.patch.set_facecolor('#E7E6E6')
ax = fig.add_subplot(111)
ax.patch.set_facecolor('#E7E6E6')

plt.xlabel("distance (mm)", fontsize=12)
plt.ylabel('I2 (mA)', fontsize=12)
plt.title('Amplitude du courant en sortie en fonction de la distance au centre', fontsize=12)

plt.plot(dist,np.array(i2t),'b')
plt.errorbar(x=dist2,y=np.array(i2p)*10**(-2), xerr=5, yerr=0.5, ecolor='r', color='r')
plt.show()
```

